

図1 (65803) Didymos 2022年10月27日 19h07m02s UT Model ($\lambda = 320.6$ 、 $\beta = -78.6$)※
 $P = 195^\circ$ 、 $\beta_e = -9^\circ$ 、 $k = 0.627$ 、 $B = 102.8^\circ$

※NASA/Goddard/ University of Arizona

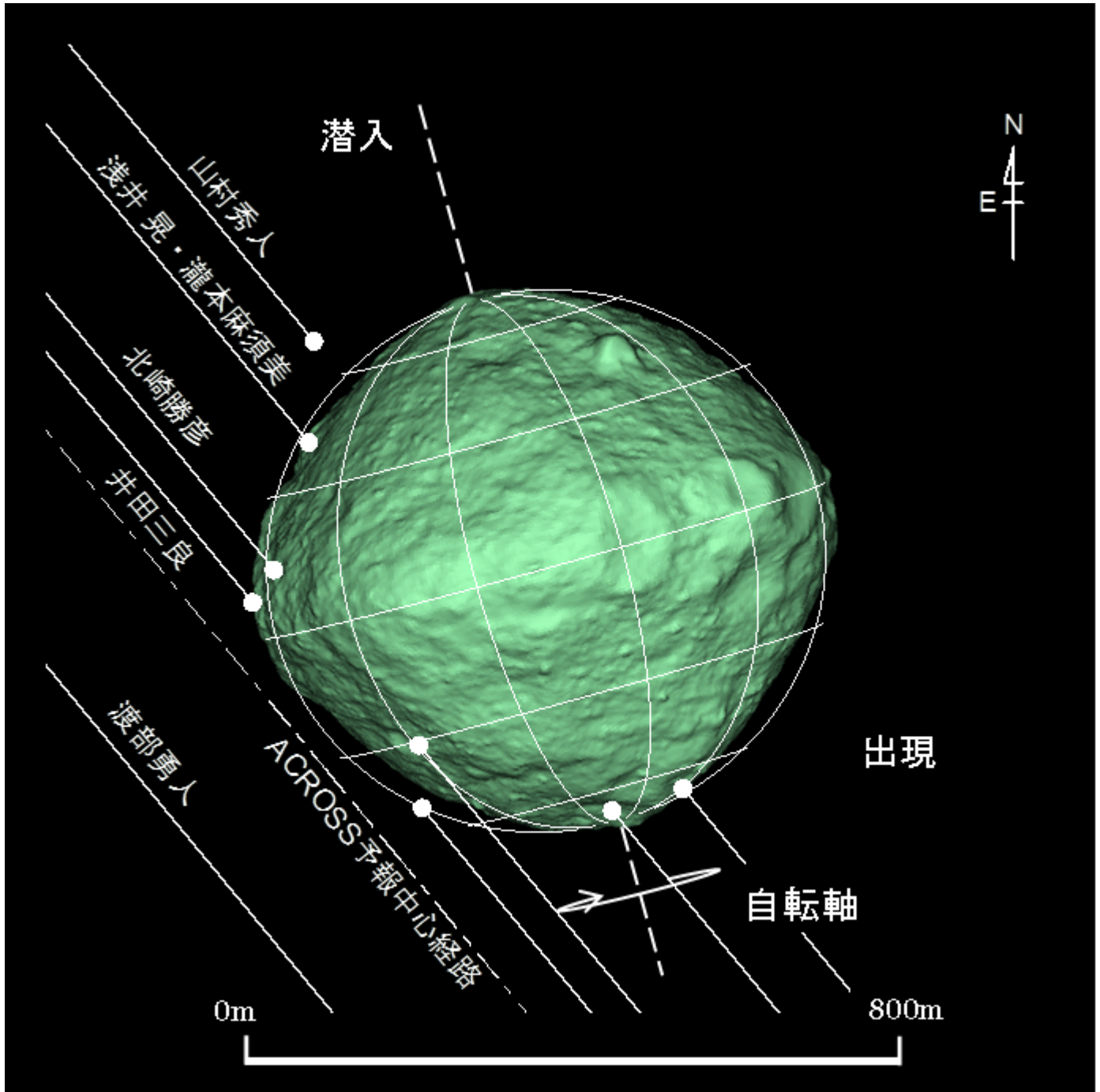
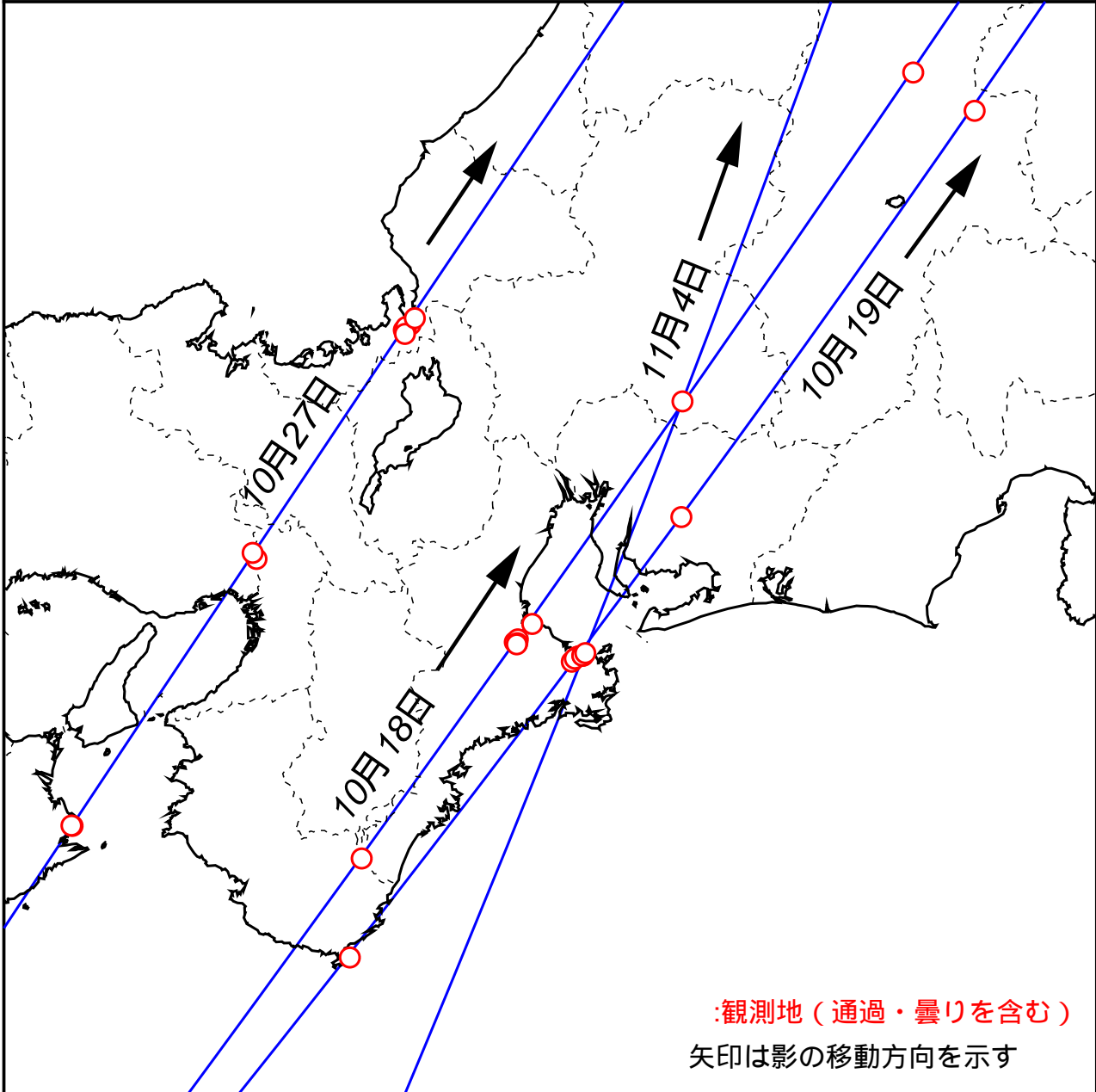


図2 (65803) Didymos 2022年11月4日 16h44m06s UT Model ($\lambda = 320.6$ 、 $\beta = -78.6$)※
 $P = 196^\circ$ 、 $\beta_e = -2^\circ$ 、 $k = 0.661$ 、 $B = 104.2^\circ$

※NASA/Goddard/ University of Arizona



○:観測地 (通過・曇りを含む)

矢印は影の移動方向を示す

図3 デイデイモスによる掩蔽帯経路と観測地

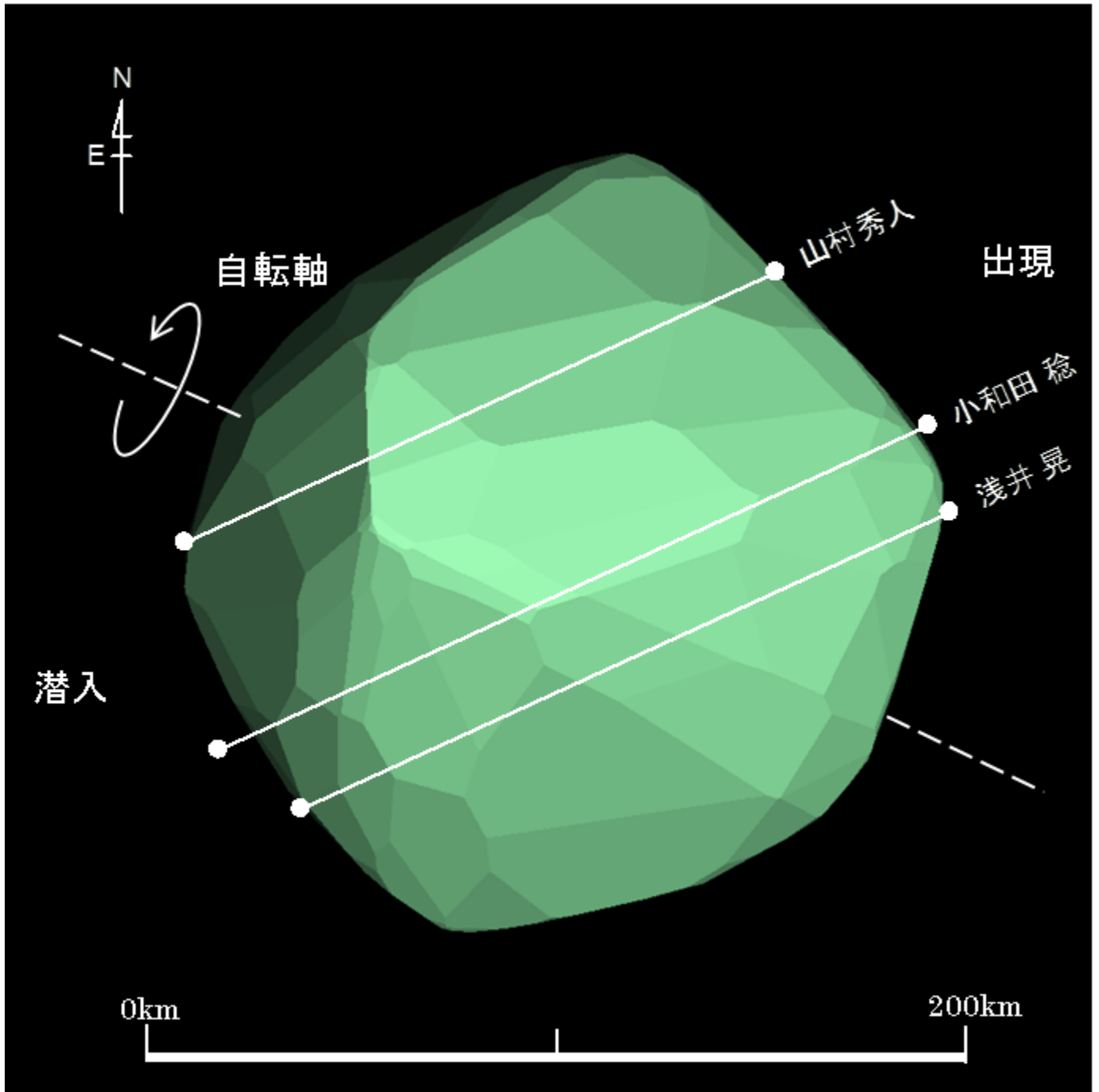


図4 (536) Merapi 2022年2月28日 18h00m52s UT DAMIT Model 5525 ($\lambda = 2$, $\beta = +31$)
 $P = 65^\circ$ 、 $\beta_e = +17^\circ$ 、 $\lambda_e = +167^\circ$ 、Scale Factor 1: 138.7、 $k = 0.981$ 、 $B = 97.7^\circ$

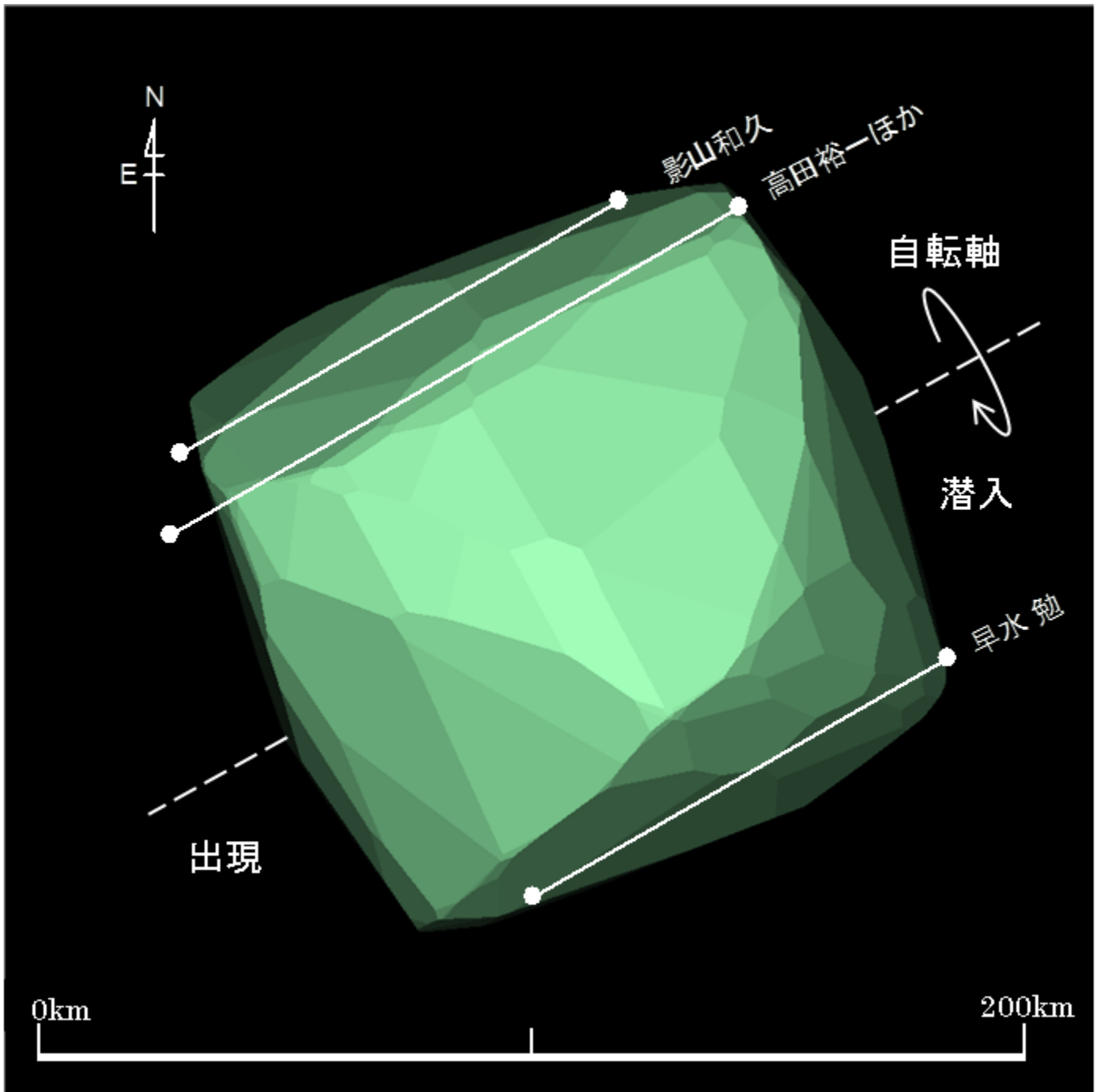
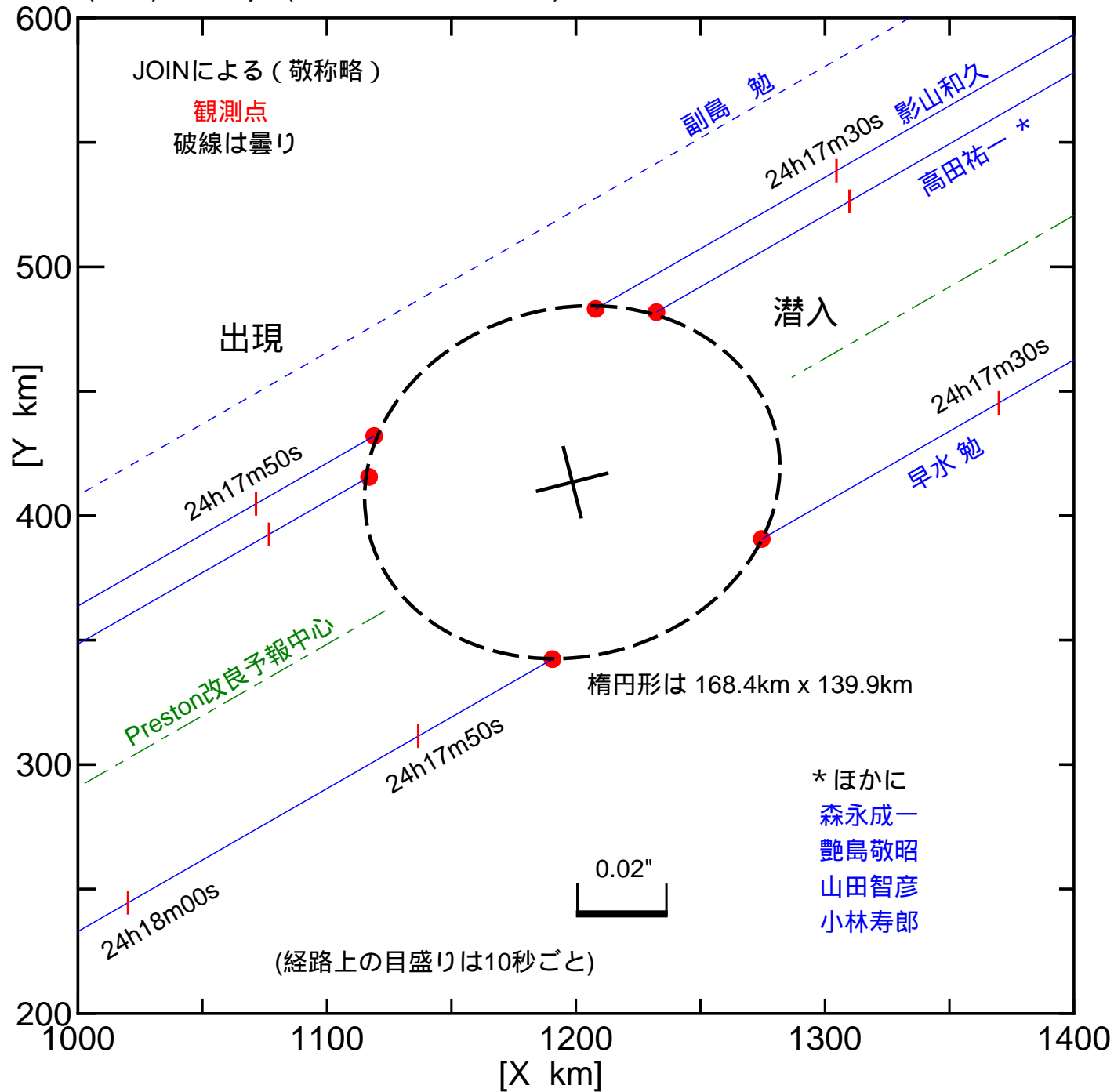


図5 (536) Merapi 2005年11月18日 15h17m42s UT DAMIT Model 5525 ($\lambda = 2$, $\beta = +31$)
 $P = 299^\circ$, $\beta_e = -9^\circ$, $\lambda_e = -82^\circ$, Scale Factor 1: 116.2, $k = 0.994$, $B = 73.8^\circ$

(536) Merapi (2005年11月18日)の食 観測結果

(時刻はJ.S.T)



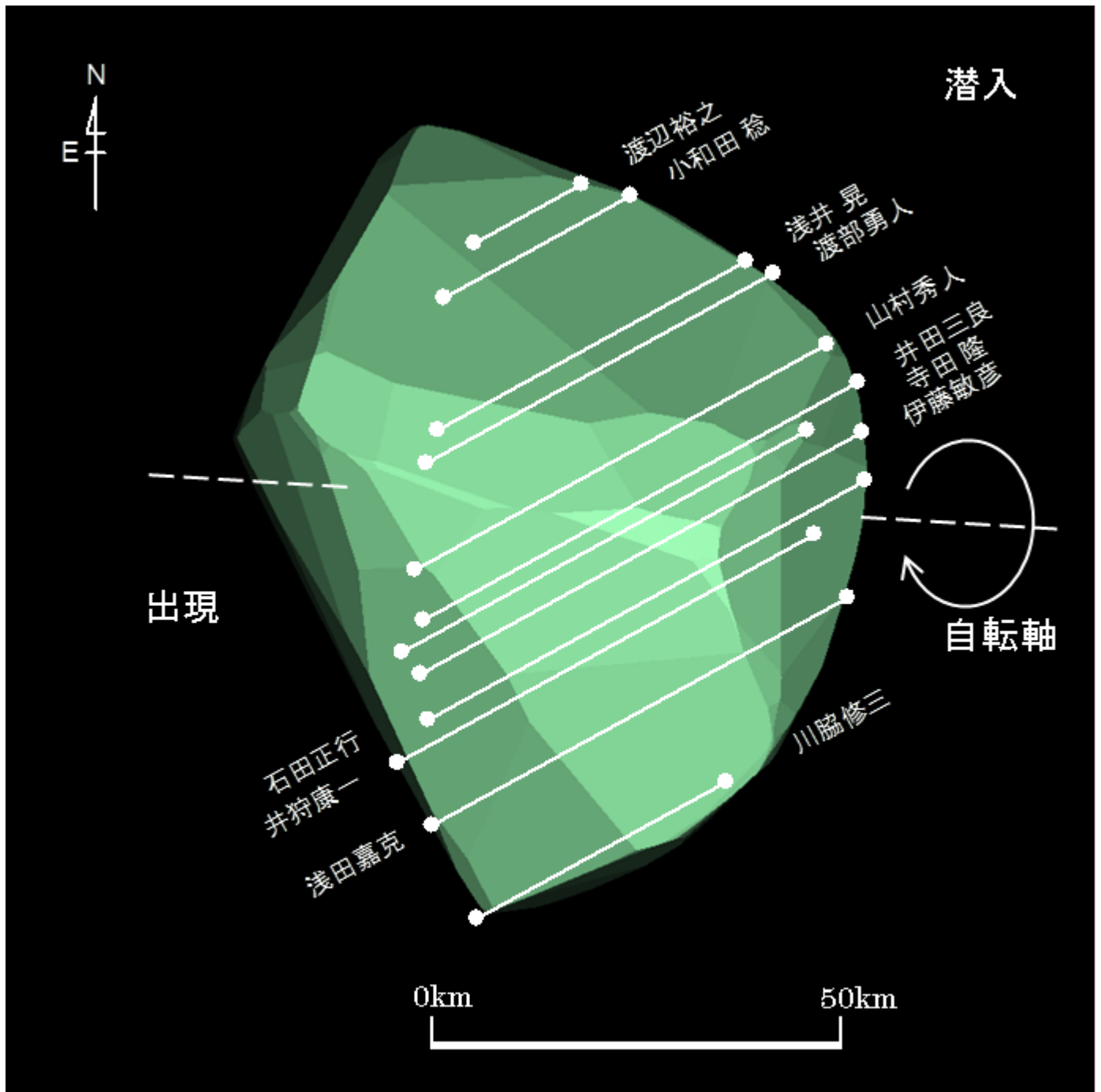


図6 (424) Gratia 2018年3月23日 16h09m08s UT DAMIT Model 5354 ($\lambda = 172$ 、 $\beta = -6$)
 $P = 266^\circ$ 、 $\beta_e = -50^\circ$ 、 $\lambda_e = -117^\circ$ 、Scale Factor 1: 57.6、 $k = 0.994$ 、 $B = 87.3^\circ$

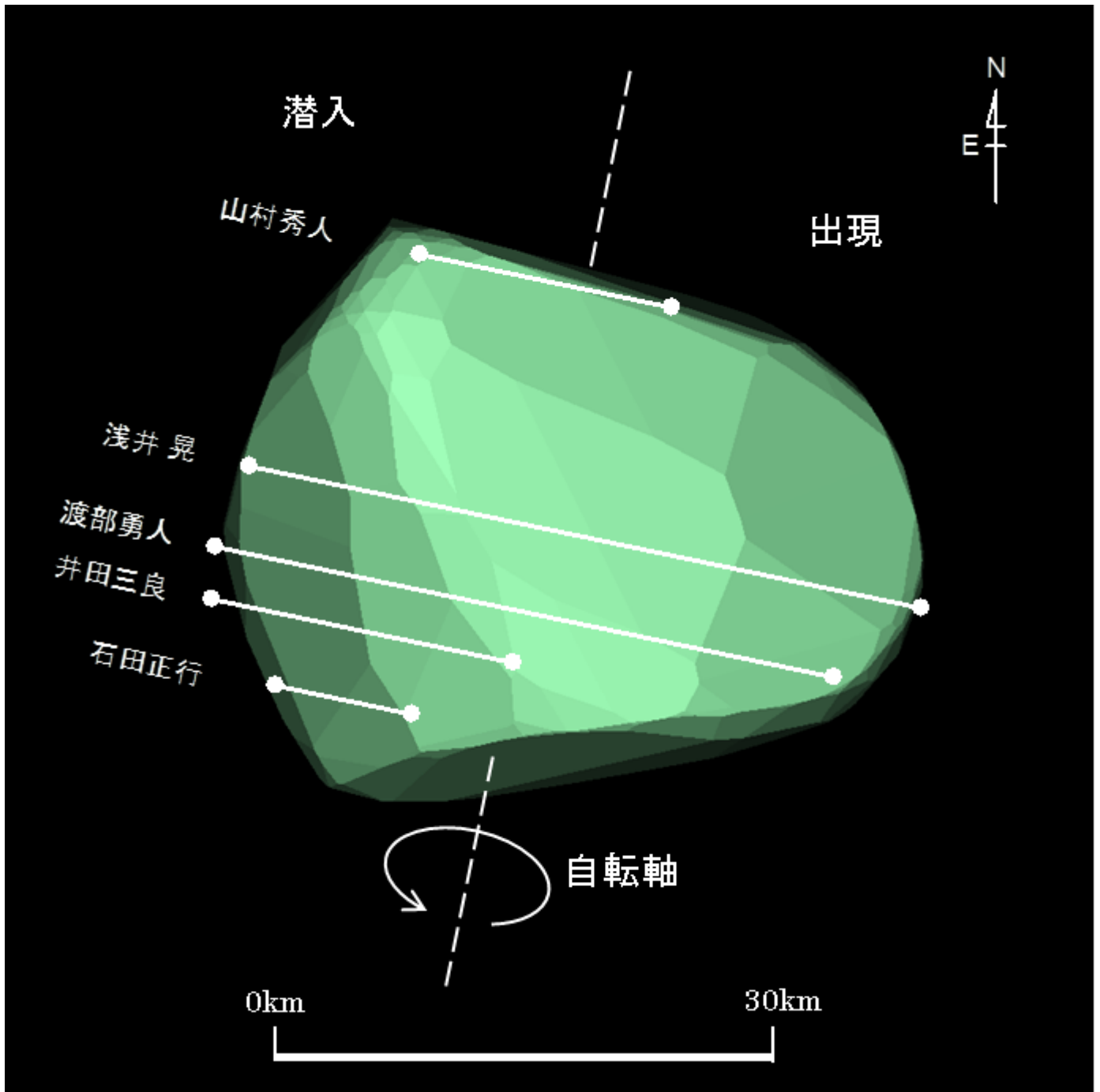


図7 (873) Mechthild 2022年3月22日 11h21m55s UT DAMIT Model 967 ($\lambda = 249$ 、 $\beta = -52$)
 $P = 169^\circ$ 、 $\beta_e = +33^\circ$ 、 $\lambda_e = +152^\circ$ 、Scale Factor 1: 28.3、 $k = 0.973$ 、 $B = 265.8^\circ$

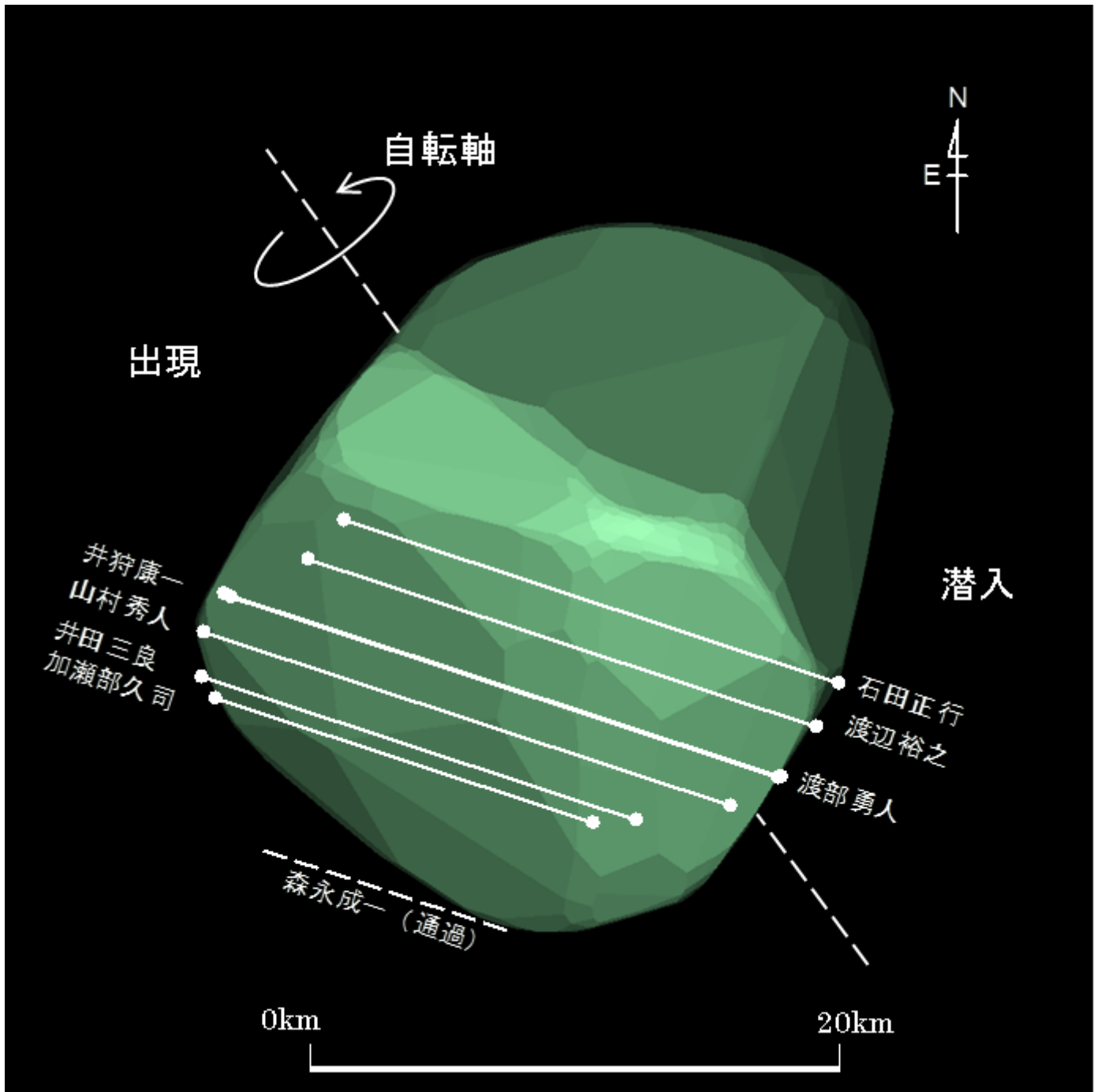


図8 (1768) Appenzella 2022年6月3日 17h24m36s UT DAMIT Model 1357 ($\lambda = 39$ 、 $\beta = +45$)
 $P = 36^\circ$ 、 $\beta_e = +19^\circ$ 、 $\lambda_e = 239^\circ$ 、Scale Factor 1: 20.8、 $k = 0.988$ 、 $B = 89.9^\circ$

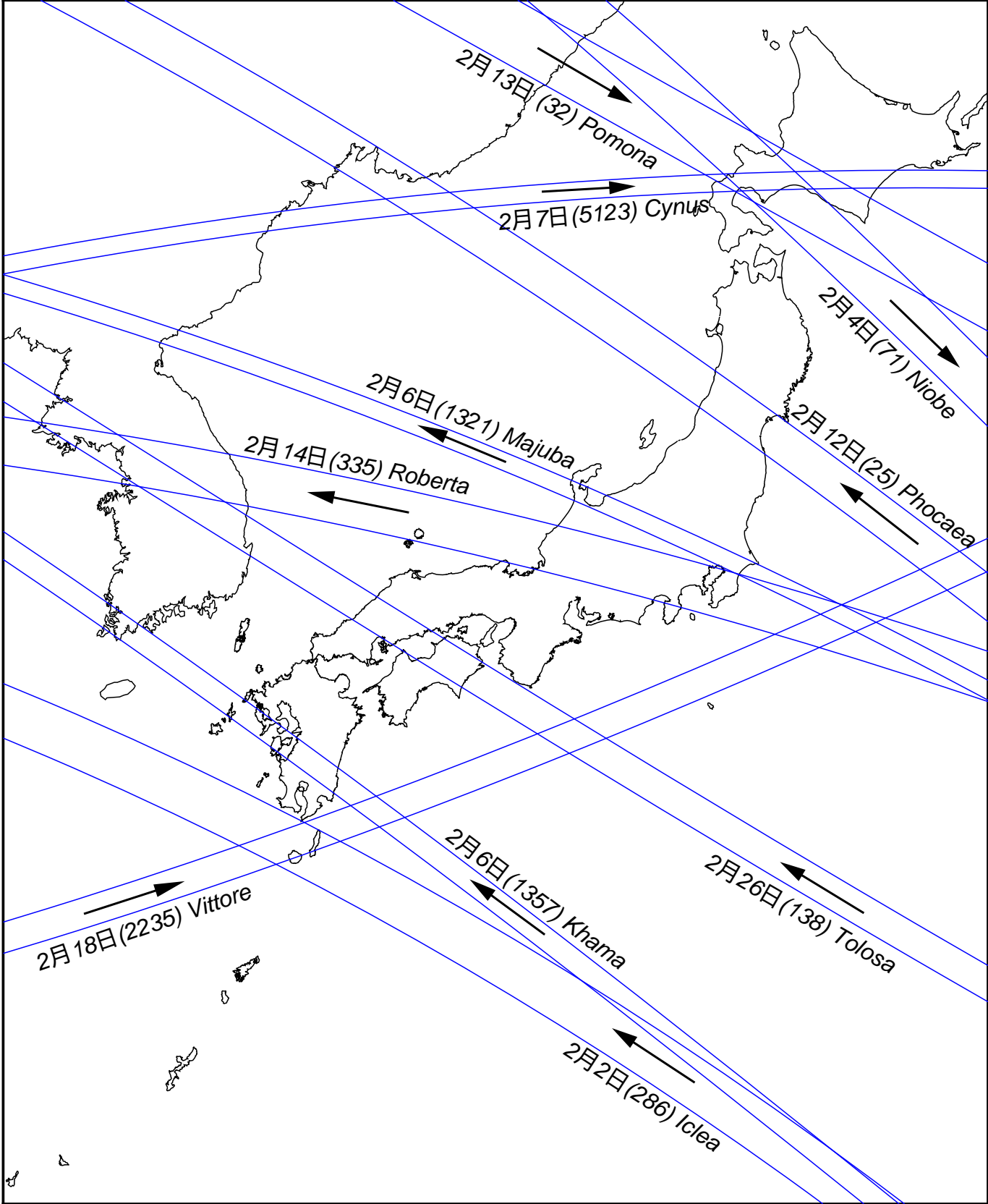


図9 小惑星による主な掩蔽帯経路 (S.Preston初期予報) 2023年2月
 矢印は影の移動方向を示す

図10 2023年2月 日本を通る主な星食限界線

(斜線をつけた側で星食が見られる)

青線：北限界 (斜線はこの線の下側)

赤線：南限界 (斜線はこの線の上側)

Ⓢ 空が明るい

